

閉曲線を利用した音色の操作方法

岩淵 勇樹[†] 秋田 純一[†] 北川 章夫[†]

電子楽器の発明以降、音色を生成する方法も数多く考案されている。しかしそれらの多くは音色生成のための多くの制御パラメータを必要とし、また各パラメータと音色との対応が複雑であり、直感的な音色の操作が困難である。またそれらのパラメータ操作は一次元的であり、近年普及が著しいタッチパッドなどの二次元操作デバイスを有効に利用できていない。本稿では、解析信号と呼ばれる複素平面上の閉曲線图形と音声信号との対応に着目し、閉曲線に対する形状操作等の直接操作によって周期音声信号を変化させる方式による音色の操作方法を提案する。本手法は、既存の音に対する加工によって音色の発展させる音色生成には有効である。また图形と音を対応付けることにより、視覚表現と融合した音楽パフォーマンスへの応用も考えられる。

Tone Manipulation Method Using Closed Curve

YUUKI IWABUCHI,[†] JUNICHI AKITA[†] and AKIO KITAGAWA[†]

A lot of studies on tone generation methods are proposed, however, tone generation requires numbers of parameters, and it is difficult to understand the relation between the parameters and the generated tone. Their parameters are operated in one-dimensional interface, which is not effective for two-dimensional interface, such as touch pad. In this paper, we propose the tone manipulation method using a kind of closed curves called the analytic signal. The waveform of the tone is related to the corresponding analytic signal, and the manipulation for the analytic signal can generate the modified tone. This method is adequate for tone modification from the existing instrument's tone. It is also expected to extend the application of the analytic signal to visual fusion performance.

1. はじめに

電子楽器の発明以降、それまでの物理的な振動現象を用いてきた楽器の音色は格段に生成の自由度が高くなり、今までにない新たな音色を作ることが可能となった。それに伴ってテクノ音楽等の新たな音楽分野が生まれ、それが再び新たな電子楽器の発展を促している。電子楽器に向けた、楽器を演奏するための入力インターフェースに関する研究は、ジェスチャ入力を用いるもの¹⁾やユーザの表情を用いるもの^{2),3)}、口の形を用いるもの⁴⁾など多くあるが、それと並んで、電子楽器に適した音色の入力・生成方法、特にマウス操作やタッチパッド操作などGUIに適した音色入力・生成方法を探ることは、電子音楽全体の発展のために重要な課題といえる。従来のシンセサイザは、多数のパラメータを必要とする。そのため、意図した音色を生成するためには多くの経験を要する。またこれらの

パラメータは一次元量であり、その操作はスライダやツマミ等のインターフェースによって操作されるが、これらのインターフェースは、マウスやタッチパッドなどの近年一般的となっている平面入力・操作デバイスを有効に活用できているとはいえない。

我々はこれまで、マウスやタッチパッド等の平面入力・操作デバイスによる音色入力インターフェースを構築するために、シルエット画像などの图形を、解析信号と呼ばれる信号に変換して周期信号を生成する手法を提案してきた^{5),6)}。この方式では、平面入力デバイスによって描画した閉曲線图形を解析信号によって近似し、それに音色を生成するものであるが、解析信号の性質から、任意の閉曲線图形を解析信号で精度よく近似するには限界があった。

以上をふまえ、本稿では、既存の音声信号をベースとし、それに対してマウスやタッチパッドなどの平面操作デバイスによって波形を操作することで、新たな音色の音声信号を作成する手法の提案と実装を行う。具体的には、既存の音声信号から生成された解析信号を複素平面上の閉曲線图形とみなし、これに対して平

[†] 金沢大学大学院自然科学研究科

Graduate School of Natural Science & Technology,
Kanazawa University

面操作デバイスによる図形操作によって新たな周期音声信号を生成・変更する手法の提案と実装を行う。

2. 音色操作のための二次元操作インターフェース

現在利用されている多くの音色操作インターフェースは、各種パラメータをツマミやスライダ等で操作するものであるが、これは1次元的なインターフェースであるといえる。

一方、計算機への入力デバイスとしては、従来からのマウスやトラックボールのほか、近年普及してきたタッチパッドなどがあるが、これらは二次元平面上でのピント移動や図形描画が可能である。これらの平面入力インターフェースに適した音色の操作方法を探ることは、より豊かな音色生成のために有用であると考えられる。これらの入力デバイスを活用する音色操作インターフェースとして最適なのは、一定領域内の2次元平面上に配置された操作点を、操作するピントによりクリックやドラッグなどの操作ができることがあると考えられる。このような音色操作を実現したインターフェースの例としてKaossilator⁷⁾が挙げられるが、これは音程とエフェクトの強さの2つのパラメータをx軸とy軸に割り当てたものであり、2つのパラメータを同時に操作可能であるものの、平面上の操作と生成される音色との関係を直感的に関連付けることは容易ではない。

本稿では、以上で述べた平面操作デバイスの有効活用が可能なインターフェースを提案する。

3. 音声信号の閉曲線表現と操作

2の必要要件をふまえ、本稿では、音色の操作加工を行う手法として、音色を平面上の閉曲線图形として取り扱い、その图形に対する変形等の操作によって音色の操作を行う手法の提案と実装を行う。具体的には、音色のうちの振幅の過渡的な変化を除いた、定常状態での時間軸の周期波形を平面的操作によって操作できるインターフェースとして、以下で述べる「解析信号シンセサイザ」を提案する。

3.1 解析信号

$$\tilde{S}(\omega) = \begin{cases} 0 & (\omega < 0) \\ S(\omega) & (\omega = 0) \\ 2S(\omega) & (\omega > 0) \end{cases} \quad (1)$$

音声信号 $s(t)$ に対して、そのフーリエ変換を $S(\omega)$ とおく。式(1)のように、 $S(\omega)$ の正周波数成分の振幅を2倍、負周波数成分の振幅を0倍とし、 $\tilde{S}(\omega)$ とお

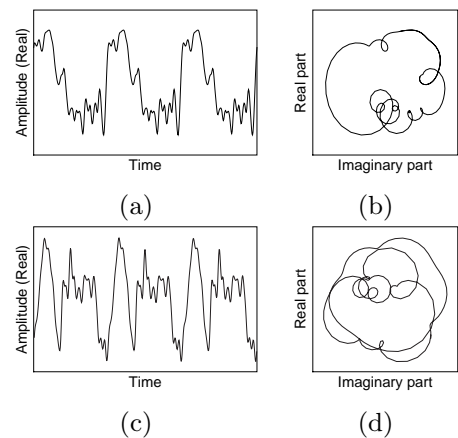


図 1 バイオリンの音色 $s(t)$ (a) と対応する解析信号 $\tilde{s}(t)$ (b)、ハーモニカの音色 $s(t)$ (c) と対応する解析信号 $\tilde{s}(t)$ (d)

Fig. 1 Waveforms $s(t)$ (a) and analytic signal $\tilde{s}(t)$ (b) of violin's tone, waveforms $s(t)$ (c) and analytic signals $\tilde{s}(t)$ (d) of harmonica's tone

く。それを逆フーリエ変換した複素信号を一般に「解析信号」と呼び、 $\tilde{s}(t)$ と表す。

$\tilde{s}(t)$ の実部 $\Re[\tilde{s}(t)]$ は $s(t)$ のままであるという性質をもち、 $s(t)$ が区分的に滑らかで常に有限値をもつ周期信号であれば、 $\tilde{s}(t)$ は複素平面 $x + iy$ 上の閉曲線を描くことが導かれる。(ただし i は虚数単位)。図 1 に解析信号の例を示す。

3.2 解析信号と音色の関係

周期的な解析信号を複素平面上の閉曲線图形として見ると、音声信号の振幅が時間とともに変化するのにあわせて、それに対応する解析信号の閉曲線上を対応点が移動し、音声信号の1周期が閉曲線上の1周に対応する。すなわちこの閉曲線の形状は、音声信号の周波数情報を除いた表現であると言うことができる。

閉曲線の大きさが音声信号の振幅に対応し、閉曲線の平行移動は、時間変化しない定数成分に対応するため音色は変化しない。また位相回転(定数 $e^{i\theta}$ 倍)は閉曲線の回転に対応するが、一般に音色は基音の位相に依存しない。そのため、相似な閉曲線はすべて同じ音色に対応することになる。

以上のことから、閉曲線图形としての解析信号は音色と密接な関わりをもっているといえる。

4. 周期解析信号に対するインタラクティブ操作

4.1 解析信号の離散化と操作の定義

まず音声信号 s を、 s_0 から s_{n-1} までの n 個のサンプル点によって離散化する。 s はこれら n 個のサンプル点列を周期とすると周期信号であると仮定し、 $s_{k+mn} = s_k$ (m は任意の整数) とする。そして、これ

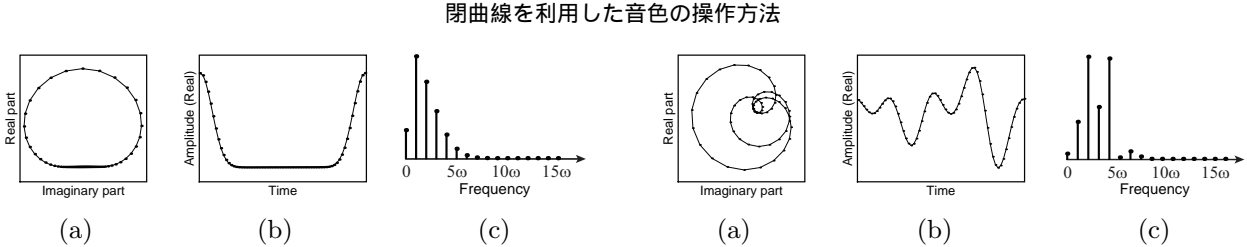


図 2 $n = 64, d = 10$ の時の印加信号の解析信号 (a) と , それに 対応する音声信号 (b) とそのスペクトル (c)

Fig. 2 Analytic signal of applied signal for $n = 64, d = 10$ (a), and its corresponding waveform(b) and spectrum(c)

らの各サンプル点に対して解析信号 $\tilde{s}_0 \sim \tilde{s}_{n-1}$ を求めて複素平面上に表示し , 各点を制御点として滑らかに結んだ閉曲線を生成する . この閉曲線は , 元の音声信号の解析信号 \tilde{s} の近似とみなすことができる .

このうちの 1 つの制御点 \tilde{s}_k をマウス等でドラッグすることで移動させる際に , \tilde{s} には \tilde{s}_k を中心とした解析信号 \tilde{p} を印加するとする . ここで \tilde{p} も \tilde{s} と同様に n 個のサンプル点から成る複素平面上の信号である . この制御点の移動先を z とおき , 新たに生成される \tilde{s}' を以下のように定める .

$$\tilde{s}'_j = \tilde{s}_j + (z - \tilde{s}_j)\tilde{p}_{j-k} \quad (2)$$

なおこの制御点の移動中は , その移動に従って新たな音声信号 $s' (= \Re[\tilde{s}'])$ が適当な周波数の周期音声信号となるよう合成する .

ここで , \tilde{p} を , その実部が以下のようになるように定める .

$$p_k = \left(\frac{1 + \cos \frac{2\pi k}{n}}{2} \right)^d \quad (3)$$

ここで d は 1 以上の実数で , 制御点の移動の際に自由に設定できるとする .

$n = 64, d = 10$ の時の印加信号を図 2 に示す . 実信号としては 0 に近い値が半数以上連続しており , 解析信号としては円形が潰れたような形となる .

式 (3) の定義に従えば , $\tilde{p}_0 = 1$ になり , また同時に $\tilde{s}'_k = z$ となるため , 移動中の制御点は常に操作指示点 (マウスによるドラッグ操作時のマウスポンタ等) と同位置になる . なお解析信号は線型性をもつため , 印加解析信号をえた後の信号もまた解析信号となる .

音色操作の例として , 正弦波波形に対応する解析信号 (円) を最初に用意し , それに対して , $n = 64, d = 10$ として 3 回の制御点移動操作を施したときの解析信号の変化 , およびそれらに対応する 1 周期分の時間軸上の音声信号を図 3 に示す .

本手法は , 制御点の操作は特定の信号の加算に対応

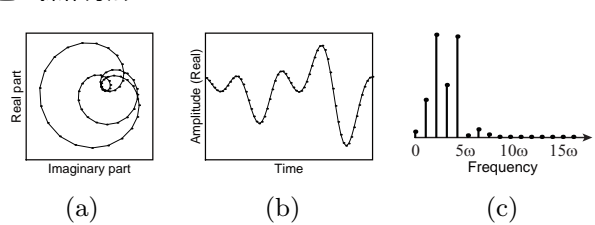


図 3 $n = 64, d = 10$ としてドラッグ操作を 3 回施したときの解析信号 (a) , それに対応する時間軸波形の音声信号 (b) , およびそのスペクトル (c) .

Fig. 3 3 times modified analytic signals for $n = 64, d = 10$ (a) , its corresponding waveform (b) , and its spectrum (c)

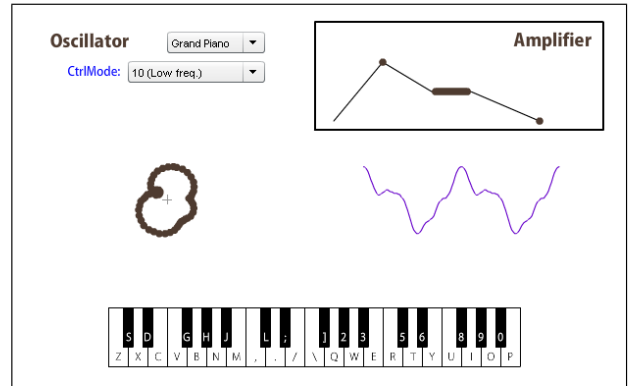


図 4 開発した解析信号シンセサイザの実行画面

Fig. 4 Screen shot of developed analytic signal synthesizer

するため , いわゆる加算合成方式のシンセサイザの一種ともいえる . 基本的には , 制御点を閉曲線の内側に「押し込む」操作によって基本周波数成分が減少・高周波数成分が増加し , 曲線にねじれが生じる . また制御点を閉曲線の外側に「拡げる」操作によって基本周波数成分が増加・高周波数成分が減少し , 曲線のねじれが解消される .

また $d = 1$ のときは基本周波数成分のみの加算となり , d が大きくなるにつれて加算される高周波数成分の割合が大きくなる . 閉曲線图形の変化としては , d が大きいほど局所的な変化になる .

4.2 解析信号シンセサイザ

4.1 節で述べた手法に従って , 開発した解析信号を用いる音色操作型のシンセサイザ を図 4 に示す . 開発環境は Flash CS4 , 開発言語は ActionScript 3.0 である . 図 4 の例では , 実行画面中段の左の閉曲線には 64 個の制御点があり , 制御点をマウス等によるドラッグによって音色の加工が可能である . 制御点移動の際の印加信号に対する式 (3) の d の値は , 10, 20,

50, 100, ∞ から選択できる。なお操作する対象である閉曲線図形としては、あらかじめ楽器音を解析信号化したものがいくつか用意されており、プルダウンメニューから読み込みができる。すなわち、既存の楽器等の音色を元に、それに図形操作によって音色に加工を加える形での音色生成が可能である。

また生成された周期音声信号に対して、時間と共に振幅の変化を加えて音として仕上げるための機能として、ADSR (Attack, Decay, Sustain, Release) エンベロープジェネレータを搭載した。生成された音色を用いた簡易的な楽器の機能として、ソフトウェアキーボードのクリック、キーボードの入力、MIDI キーボードからの入力によって簡易的な演奏を可能とした。

この解析信号シンセサイザを用いて、音色の操作を行ったところ、「とがった音」や「キンキンした音」、「滑らかな音」など、意図した音色をある程度は生成することができた。

5. 議論

本手法による音色の加工生成手法について議論を加える。

解析信号シンセサイザの、音色操作の自由度・可能性について議論する。この閉曲線図形の操作と、それに対応する音色操作との対応、すなわち音色操作の自由度や、意図した音色をどの程度生成できるかという点の定量的な評価は不十分であるものの、実際に操作をした結果からは、直感的な音色操作がある程度可能であることが示された。

本手法は、原理的には任意の周期信号を生成することができるが、「意図した音色」をゼロから生成するには必ずしも適していないと考えられる。ただし実用的には、既存の音色を、好みの音色へと微調整したい場面は音楽表現上は多く、本手法はそのような場面で有効であると言える。より豊かな音色の加工・生成のために、振幅や周波数などの過渡的な変化を効果的に設定するためのインターフェースは、今後の検討課題である。

本手法は、閉曲線を複素平面に投影しているため、時間軸の情報がなくなっている。これによって、周波数(音高)に依存しない音色作りが可能になっている。ただし、同じスペクトルを持つ音色も、位相が異なると閉曲線図形も変化するため、同じ音色がさまざまなかたちを持つことになる。

本手法は、2次元平面上に配置された操作点を、平面操作デバイスによって操作するインターフェースであるが、複雑な音色を扱う場合は交点で操作点が重なる

など、操作インターフェース自体としては操作しづらい場合が考えられるため、この点は、操作インターフェースそのものとして改良・工夫を進めたい。

6. まとめ

本稿では、解析信号と呼ばれる複素平面上の閉曲線図形と音声信号との対応に着目し、閉曲線に対する形状操作等の直接操作によって周期音声信号を変化させる方式による音色の操作方法を提案し、その手法によるシンセサイザと簡易な楽器を実装した。本手法は、意図した新規の音色の作成は困難であるものの、既存の音に対する加工によって音色の発展させる音色生成には有効である。また図形と音を対応付けることにより、視覚表現と融合した音楽パフォーマンスへの応用も考えられる。

今後は、より豊かな音色の加工・生成のために、音声信号の過渡的な変化を効果的に設定する手法の検討を進め、あわせて、閉曲線図形とその操作を映像表現とみなした、新たな映像・音楽の融合の可能性を検討したい。

参考文献

- 1) A.Camurri, M.Ricchetti and R.Trocca: EyesWeb—toward gesture and affect recognition in dance/music interactive systems, *IEEE International Conference on Multimedia Computing and Systems*, Vol.1, pp.643–648 (1999).
- 2) M.Funk, K.Kuwabara and M.J.Lyons: Sonification of Facial Actions for Musical Expression, *Proceedings of NIME '03*, pp.127–131 (2003).
- 3) M.J.Lyons: Facial gesture interfaces for expression and communication, *Proceedings IEEE International Conference on Systems, Man and Cybernetics*, Vol. 1, pp. 598–603 (2004).
- 4) M.J.Lyons, M.Haehnel and N.Tetsutani: Designing, Playing, and Performing with a Vision-based Mouth Interface, *Proceedings of NIME '03*, pp.116–121 (2003).
- 5) 岩淵勇樹, 秋田純一, 北川章夫: 閉曲線図形に基づいた音色生成方法の検討, エンタテインメントコンピューティング 2008 論文集, pp.143–146 (2008).
- 6) 岩淵勇樹, 秋田純一, 北川章夫: 閉曲線図形の特性に基づいた音色生成の一手法, 第 16 回インタラクティブシステムとソフトウェアに関するワークショップ (WISS2008) 論文集, pp.149–150 (2008).
- 7) KORG: KAOSSILATOR,
<http://www.korg.co.jp/Product/Dance/kaossilator/>.